

فعالیت زمین ساخت نسبی برپایه شاخص‌های ریخت سنگی در جنوب باختری لنجان - اصفهان

انیس السادات خلیفه سلطانی^{۱*}، سید احمد علوی^۲، محمد رضا قاسمی^۳

۱- دانشجوی کارشناسی ارشد تکتونیک، دانشگاه شهید بهشتی

۲- دانشیار گروه زمین‌شناسی، دانشگاه شهید بهشتی

۳- دانشیار پژوهشکده علوم زمین، سازمان زمین‌شناسی و اکتشافات معدنی کشور

پذیرش مقاله: ۱۳۹۲/۱۰/۱۳

تأیید نهایی مقاله: ۱۳۹۳/۴/۱۲

چکیده

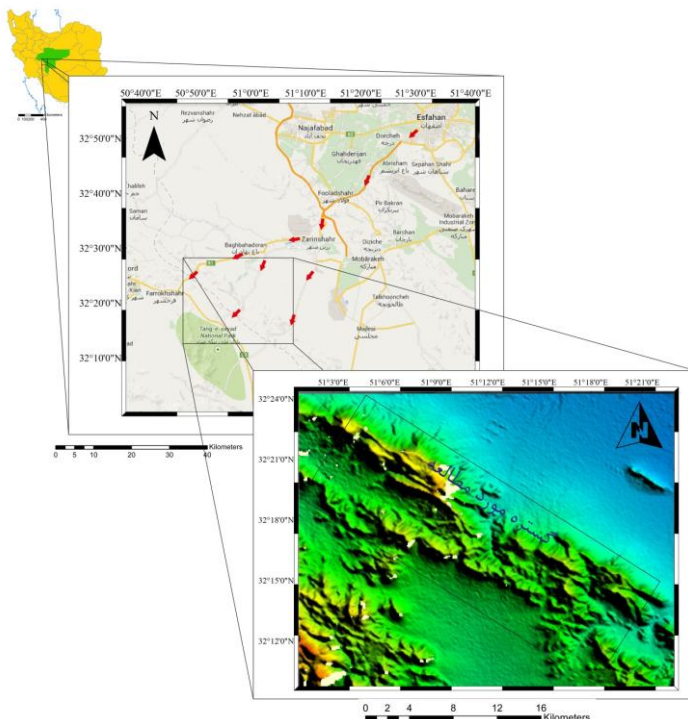
با توجه به لرزه‌خیزی ایران و اهمیت زمین ساخت فعال، در ارزیابی مخاطرات طبیعی، و مدیریت مناطق پر جمعیت شهری، مطالعات ریخت سنگی جهت تعیین فعالیت زمین ساختی نسبی ضرورت دارد. گستره مورد مطالعه در جنوب باختری شهرستان لنجان قرار دارد، و از نظر زمین ساختی در پهنه سندج- سیرجان واقع گردیده است. در این پژوهش حوضه آبریز گستره مورد مطالعه، به سه بخش A، B و C تقسیم شده، و هر بخش نیز، در جایگاه خود به چندین زیر حوضه تفکیک شده، تا شاخص‌های ریخت سنگی همچون شاخص شبب- طول رودخانه (SL)، شاخص عدم تقارن حوضه رودخانه (Af)، انتگرال فراز سنگی (Hi)، نسبت پهنه‌ای بستر دره به ارتفاع آن (Vf) و شاخص پیچ و خم پیشانی کوهستان (Smf) در هر یک از زیرحوضه‌ها، اندازه‌گیری شود. سپس هر بخش بر اساس شاخص‌های ریخت سنگی محاسبه شده، از نظر فعالیت زمین ساختی نسبی، رده‌بندی می‌گردد، تا در نهایت رده‌بندی فعالیت زمین ساختی نسبی نهایی انجام گیرد. که این رده‌بندی تحت عنوان S/n بیان می‌شود، و میانگین تمامی رده‌بندی‌های انجام شده، برای هر بخش است. بر این اساس، حوضه B، که در بخش میانی گستره مورد مطالعه قرار دارد، فعالیت زمین ساختی بیشتری نسبت به حوضه‌های A و C دارد. و این در حالی است که، مطالعات ساختاری انجام شده، در گستره مورد مطالعه نیز تراکم بالای ساختارها را در بخش B نشان می‌دهد. به عبارت دیگر، حوضه B بیش از دو حوضه مجاور خود، تحت تاثیر فعالیت‌های زمین ساختی می‌باشد، که این فعالیت‌های زمین ساختی، ناشی از سامانه ترافشارشی راستبر حاکم بر گستره مورد مطالعه است.

واژه‌های کلیدی: پهنه ترافشارشی راستبر، شاخص‌های ریخت سنگی، فعالیت زمین ساختی نسبی، لنجان- اصفهان

از پژوهش های پیشین انجام شده در این گستره می توان، طرح انتقال آب بهشت آباد به فلات مرکزی ایران را نام برد، که این طرح در آبان ماه ۱۳۸۱ آغاز شد، و انجام آن به شرکت مهندسی مشاور زاینده آب واکذار گردید. تنها بخش شمال باختری گستره مورد مطالعه، در مسیر این طرح واقع شده است. از دیگر پژوهش های صورت گرفته در این گستره می توان پایان نامه کارشناسی ارشد محمدی (۱۳۸۵) در خصوص بررسی ویژگی های زمین شناسی مهندسی توپل انتقال آب بهشت آباد بخش خروجی را نام برد. بنابراین تمامی پژوهش های صورت گرفته در حاشیه شمال باختری گستره مورد مطالعه، در راستای طرح انتقال آب بوده است، بنابراین پژوهش زمین ساختی و زمین ریختی تاکنون در این گستره صورت نگرفته است (شکل ۱).

مقدمه

منطقه مورد مطالعه در حاشیه جنوب باختری استان اصفهان، و در مرز این استان با استان چهارمحال و بختیاری قرار دارد. این منطقه بین عرض های جغرافیایی $32^{\circ} 21'$ تا $32^{\circ} 11'$ شمالی و طول های جغرافیایی $51^{\circ} 50'$ تا $51^{\circ} 19'$ خاوری واقع گردیده است. روند ارتفاعات این گستره شمال باختری - جنوب خاوری می باشد. کمینه ارتفاع گستره در دشت ها 200 متر و بیشینه ارتفاع آن در بلندترین نقاط 285 متر می باشد. درازای تقریبی این گستره 9 کیلومتر و پهنای آن در حدود 6 کیلومتر می باشد. شکل ۱ موقعیت جغرافیایی و راه های دسترسی به گستره مورد مطالعه را نمایش می دهد.

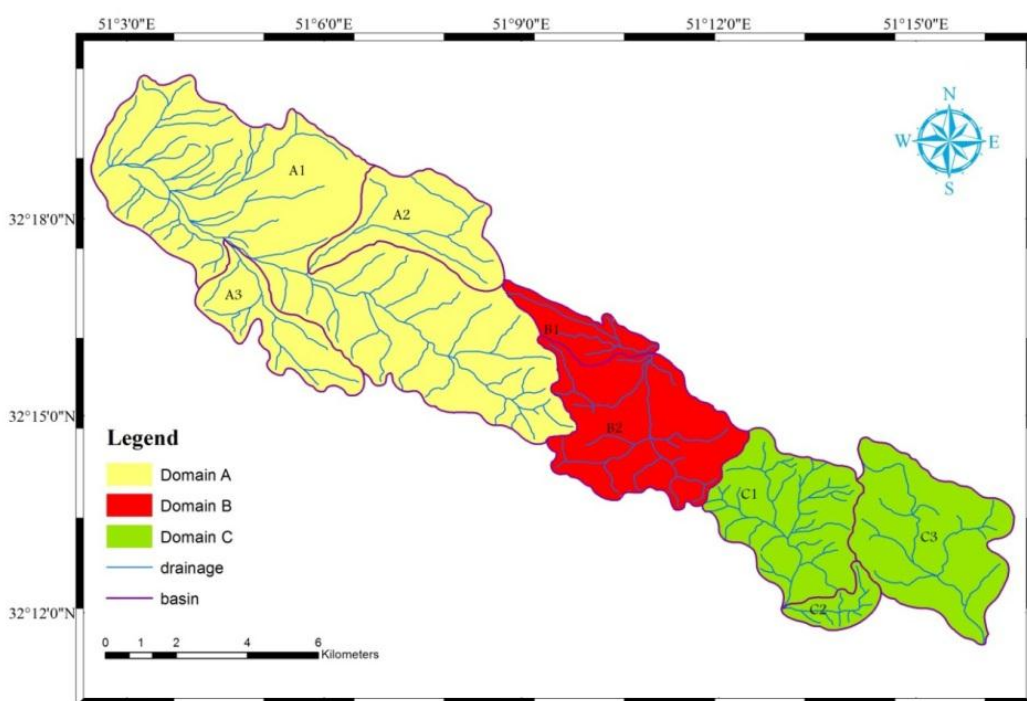


شکل ۱: (الف) موقعیت جغرافیایی گستره مورد مطالعه در نقشه ایران. ب) راه های ارتباطی گستره، بر گرفته از Google map. پ) کان ها مسیرها را نمایش می دهند. ج) موقعیت گستره مورد مطالعه در تصویر DEM

اساس چهار نقشه توپوگرافی، با مقیاس ۱:۵۰۰۰۰ فرادنیه (سازمان جغرافیایی نیروهای مسلح جمهوری اسلامی ایران، ۱۳۷۸)، مجتمع فولاد مبارکه (سازمان جغرافیایی نیروهای مسلح جمهوری اسلامی ایران، ۱۳۷۷)، چرمهین (سازمان جغرافیایی نیروهای مسلح جمهوری اسلامی ایران، ۱۳۷۹)، زرین شهر (سازمان جغرافیایی کشور، ۱۳۵۳) تهیه شده است. سپس برای سهولت در اندازه‌گیری شاخص‌ها، حوضه آبریز بر اساس سوگیری مجرای خروجی رود اصلی، به سه بخش A، B و C تقسیم شده، و هر بخش نیز در جایگاه خود به چندین زیرحوضه تفکیک شده است (شکل ۲).

پژوهش دیگری به بررسی گسلش راستالغز در بخش مرکزی پهنه سنندج- سیرجان، کوهزاد زاگرس پرداخته است. در این پژوهش بخش مرکزی سنندج- سیرجان که گستره مورد مطالعه بخشی از آن می‌باشد، به عنوان یک پهنه برಶی معروفی شده است (ندیمی و کنون، ۲۰۱۲).

این پژوهش تلاش دارد، که با اندازه‌گیری شاخص‌های ریخت سنگی، فعالیت زمین ساختی نسبی، بخش‌های مختلف گستره مورد مطالعه را تعیین نماید. و پویاترین بخش زمین ساختی گستره را شناسایی کند. سپس نقش ساختارهای زمین شناسی، را در میزان فعالیت زمین ساختی گستره، مورد بررسی قرار دهد. برای دستیابی به این اهداف، ابتدا نقشه حوضه آبریز گستره، بر



شکل ۲: نقشه حوضه آبریز گستره مورد مطالعه و تقسیم بندی بخش‌ها و زیرحوضه‌های آن.

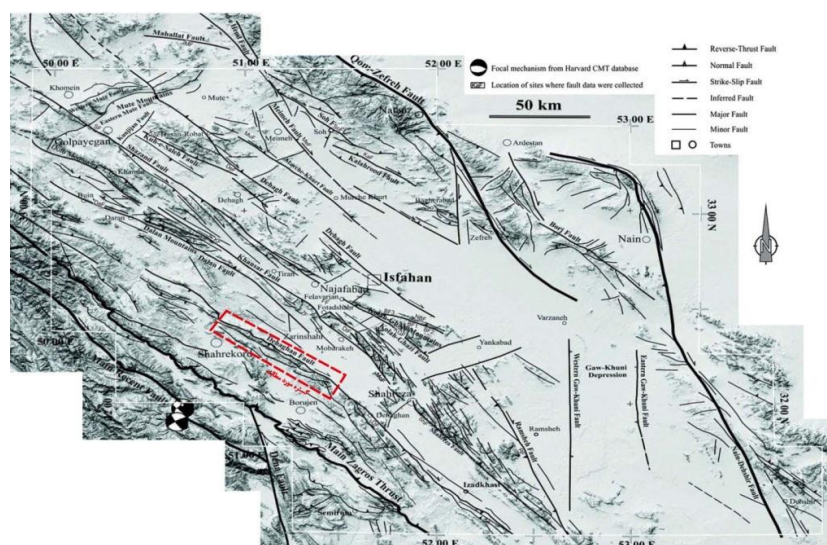
شناسایی شود، و با مطالعات زمین ساختی، نقش ساختارها در میزان این فعالیت مورد بررسی قرار گیرد. نتایج این پژوهش می‌تواند در تعیین توان لرزه‌ای گستره مورد مطالعه مفید باشد. زیرا نتایج پژوهش‌های زمین ساخت فعل منطقه‌ای را

سپس هر بخش بر اساس مقدار شاخص بدست آمده از نظر فعالیت زمین ساختی نسبی رده‌بندی می‌شود. و در پایان نیز فعالیت زمین ساختی نسبی نهایی، برای بخش‌های مختلف گستره محاسبه می‌گردد. تا پویاترین بخش گستره

عوامل فعال از قبیل چین خوردگی و گسلش حساس می‌باشد. این عوامل می‌تواند تسریع کننده برش عمقی رودخانه، عدم تقارن حوضه آبریز و انحراف رودخانه باشد (کاکس، ۱۹۹۴)؛ (جکسون و همکاران، ۱۹۸۴). برش عمقی رودخانه در یک ناحیه وابسته به بالآمدگی زمین ساختی است. هر چند عواملی از قبیل آبدزدی رودخانه، پایین بودن سطح اساس و عوامل آب و هوایی نیز می‌تواند مسئول تفاوت و تسریع در برش عمقی رودخانه باشد (پرز- پنا و همکاران، ۲۰۱۰).

زمین شناسی و زمین ساخت گستره مورد مطالعه: گستره مورد مطالعه در بخش مرکزی پهنه سندنج- سیرجان واقع شده است. روند عمومی حاکم بر گسل‌های این گستره شمال باختری- جنوب خاوری است. که این گسل‌ها اغلب راندگی‌های مورب راستبر و یا گسل‌های راستالغز راستبر می‌باشند. از گسل‌های معکوس و راستبر این گستره می‌توان گسل دهاقان و گسل دهق را نام برد (شکل ۳).

می‌توان در جهت ارزیابی خطرات طبیعی به کار گرفت. و اهمیت این نتایج در برنامه‌ریزی و مدیریت مناطق پرجمعیت شهری غیرقابل انکار است (کلوئین و کورنو، ۲۰۰۵). زمین ساخت فعال به علت پیشرفت سریع تجهیزات زمان سنجی و ژئودزی به گرایش‌های در حال رشد علوم زمین تبدیل شده است. که اندازه‌گیری دقیق نرخ بالآمدگی، نرخ برش عمقی رود، نرخ فرسایش و نرخ لغزش گسل‌ها را در مقیاس زمانی 10^{-3} سال میسر ساخته است (شام و همکاران، ۲۰۰۰؛ برینک و اندرسون، ۲۰۰۱). در نواحی کوهستانی زمین ساخت فعال می‌تواند، عامل اصلی در بالآمدگی سنگ‌ها باشد. توپوگرافی کنونی، حاصل رقابت بین زمین ساخت و عوامل فرسایشی است (انگلند و ملنار، ۱۹۹۰؛ بیشاپ، ۲۰۰۷). از سوی دیگر توپوگرافی، تجزیه تحلیل الگوی آبراهه‌ها و هندسه شکستگی‌ها می‌تواند، برای ارزیابی فعالیت زمین ساختی کنونی استفاده گردد (کلر و پینتر، ۲۰۰۲؛ آزر و همکاران، ۲۰۰۲). الگوی آبراهه‌ها در فعالیت زمین ساخت ناحیه‌ای بسیار به



شکل ۳: گسل‌های بخش مرکزی پهنه سندنج- سیرجان و کوهزاد زاگرس را نشان می‌دهد، موقعیت گستره مورد مطالعه در آن مشخص شده است، بر گرفته از (ندیمی و کنون، ۲۰۱۲).

Mapper ترسیم و اندازه‌گیری شده‌اند. همچنین نقشه رده‌بندی فعالیت زمین ساختی نسبی گستره، توسط نرم افزار Surfer ترسیم شده است.

نتایج

به منظور محاسبه شاخص‌های زمین ریختی، ابتدا نقشه حوضه آبریز گستره مورد مطالعه تهیه می‌شود. و همان‌گونه که بیان گردید، حوضه آبریز به سه بخش A، B و C تقسیم می‌شود، و هر بخش نیز در جایگاه خود به زیرحوضه‌هایی تفکیک می‌گردد. سپس شاخص‌های ریخت سنجدی، برای هر یک از زیرحوضه‌ها، بنابر تعاریف ارائه شده، در کتاب زمین ساخت فعال (کلر و پینتر، ۲۰۰۲) محاسبه می‌گردد. آنگاه هر بخش بر اساس میانگین بدست آمده، و بنابر تقسیم بندی ارائه شده توسط همدونی و همکاران (۲۰۰۸)، از لحاظ فعالیت زمین ساختی نسبی رده-بندی می‌شود. آنگاه مقدار n/S تحت عنوان رده-بندی نسبی نهایی، بخش‌های گستره محاسبه و ارائه می‌گردد. و بر این اساس پویا‌ترین بخش زمین ساختی گستره شناسایی می‌شود، سپس نقش ساختارهای زمین شناسی در میزان این فعالیت مورد بررسی قرار می‌گیرد.

۱- شاخص شیب- طول رودخانه: شاخص شیب- طول رودخانه به تغییرات شیب آبراهه حساس می‌باشد، از این رو بی‌نظمی‌های حاصل از فعالیت زمین ساختی یا مقاومت سنگ شناسی تغییرات محسوسی، در میزان این شاخص ایجاد می‌کنند (رامیرز-هررا، ۱۹۹۸) این شاخص به صورت رابطه ۱ تعریف می‌شود.

$$SL = (\Delta h / \Delta l) \cdot L \quad (1)$$

SL: شاخص شیب- طول رودخانه، ($\Delta h / \Delta l$): شیب آبراهه، L: مجموع طول آبراهه از نقطه‌ای که شاخص محاسبه می‌شود تا مرتفع‌ترین نقطه

ساختمانی ساخته شده بخش مرکزی پهنه سندج- سیرجان، پهنه‌های فراگام گرفتاری راستبر نجف-آباد و حسن رباط می‌باشد، که برای اولین بار شناسایی شده‌اند. علاوه بر این چرخش زمین ساختی کنده‌ها با آرایش قفسه کتابی در نزدیکی کوه‌های فولاد شهر و کلاه قاضی گزارش شده است. در نهایت این بخش از پهنه سندج- سیرجان به عنوان یک پهنه برشی ساده معرفی شده است (ندیمی و کنون، ۲۰۱۲).

بنابر پژوهش‌های صورت گرفته یک پهنه ترافشارشی راستبر در گستره سندج- سیرجان و غرب زاگرس حاکم است (ندیمی و کنون، ۲۰۱۲؛ مورلی و همکاران، ۲۰۰۹؛ بابا احمدی و همکاران، ۲۰۱۲؛ صفایی و همکاران، ۲۰۰۸).

چینه نگاری گستره مورد مطالعه شامل واحدهای توده‌ای و ستربر لایه کربناته کرتاسه، واحدهای کنگلومراپی ائوسن و آبرفت‌های پیلوسن- کواترنری می‌باشد (زاهدی، ۱۳۵۵). از آنجا که بیشترین مساحت گستره مورد مطالعه شامل واحدهای رسوبی کربناته و کنگلومراپی است و مقاومت سنگ شناسی این دو واحد رسوبی مشابه می‌باشد، بنابراین شاخص‌های ریخت سنجدی متاثر از تغییرات مقاومت سنگ شناسی نبوده، و شاخص‌های ریخت سنجدی در این گستره بیشتر تحت تاثیر عوامل زمین ساختی می‌باشند.

مواد و روش‌ها

در این پژوهش نقشه حوضه آبریز گستره مورد مطالعه، در نرم افزار Arc GIS، از چهار نقشه توپوگرافی با مقیاس ۱:۵۰۰۰۰ تهیه شده است. بیشتر شاخص‌های ریخت سنجدی، در محیط نرم افزار Arc GIS اندازه‌گیری شده‌اند. ولی برخی شاخص‌ها همچون شاخص شیب- طول رودخانه و شاخص عامل بی تقارنی توسط نرم افزار Golbal

شناسی منطقه نسبت داد و مقادیر پایین این شاخص گویای سکون زمین ساختی یا مقاومت کم سنگ بستر حوضه است. همان گونه که بیان گردید، به علت یکسان بودن مقاومت سنگ شناسی، در واحدهای رسوبی گستره مورد مطالعه، میزان این شاخص در گستره، متاثر از تغییرات سنگ شناسی نبوده، و این شاخص بیشتر تحت تاثیر عوامل زمین ساختی است. حوضه‌ها را می‌توان بر اساس شاخص SL رده‌بندی کرد. رده یک شامل حوضه‌های فعال می‌باشد، که بی‌هنگاری زیادی را در شاخص SL نشان می‌دهند. رده دوم شامل حوضه‌های غیر فعال است که بی‌هنگاری کمی در شاخص SL دارند. رده سوم شامل حوضه‌های غیر فعال است، که شاخص SL آنها بدون بی‌هنگاری است (همدونی و همکاران، ۲۰۰۸). به منظور اندازه‌گیری این شاخص، نیمرخ رودخانه اصلی برای هر یک از زیر حوضه‌های بخش‌های A، B و C تهیه شده است. و تغییرات این شاخص در طول رودخانه برای هر یک از زیر حوضه‌ها محاسبه گردیده، و در نهایت میانگین آن برای هر بخش ارائه شده است (جدول ۱).

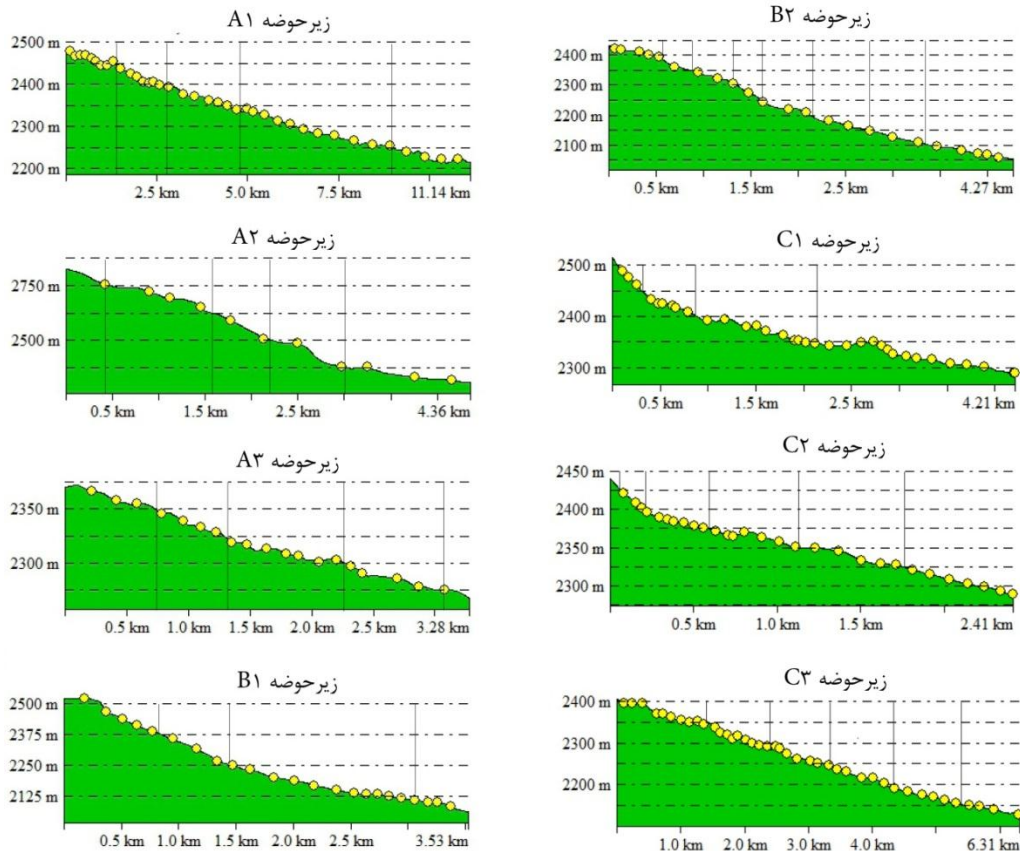
جدول ۱: شاخص شیب- طول رودخانه در هریک از زیر حوضه‌ها و بخش‌ها، و رده بندی فعالیت زمین ساختی نسبی بخش‌ها.

رده‌بندی فعالیت زمین ساختی نسبی	میانگین SI برای هر بخش	میانگین SI برای هر زیر حوضه	زیر حوضه آبراهه
۱	۳۶۶	۲۸۰	A ₁
		۴۵۵	A ₂
		۳۶۵	A ₃
۲	۴۱۳	۴۵۸	B ₁
		۳۶۹	B ₂
		۳۹۸	C ₁
۳	۳۰۶	۱۴۸	C ₂
		۳۷۲	C ₃

آبراهه در بالادست (گارسیا- تورتوسا و همکاران، ۲۰۰۸)

شاخص شیب- طول رودخانه تحت تاثیر شیب کanal رودخانه است، و عوامل سنگ شناسی و ساختارهای زمین شناسی که در میزان شیب رودخانه موثرند، نقش بسزایی در این شاخص دارند. مناطقی که از مقاومت سنگ شناسی بالای برخورداراند، به دلیل مقاومت در برابر فرسایش شیب بیشتری دارند، و شاخص شیب- طول رودخانه بیشتری از خود نشان می‌دهند. بالا بودن این شاخص همچنین می‌تواند معرف زمین ساخت فعال باشد، که باعث افزایش شیب حوضه آبریز شده است. بنابراین شاخص SL را می‌توان جهت ارزیابی فعالیت زمین ساختی نسبی بکار برد، به گونه‌ای که در مناطقی که دچار بالاًمدگی زمین ساختی شده‌اند، شاخص شیب- طول رودخانه بالای را نشان می‌دهند. ولی گاهی در مناطقی با زمین ساخت فعال این شاخص کاهش چشم‌گیری نشان می‌دهد و آن زمانی است که جریان رود به موازات شکستگی‌هایی همچون دره‌های حاصل از گسلش راستالغز باشد (کلر و پینتر، ۲۰۰۲). به طور کلی مقادیر بالای این شاخص را می‌توان به زمین ساخت فعال یا بالا بودن مقاومت سنگ

در رده یک قرار می‌گیرند و بخش C در رده دوم قرار می‌گیرد (شکل ۴).

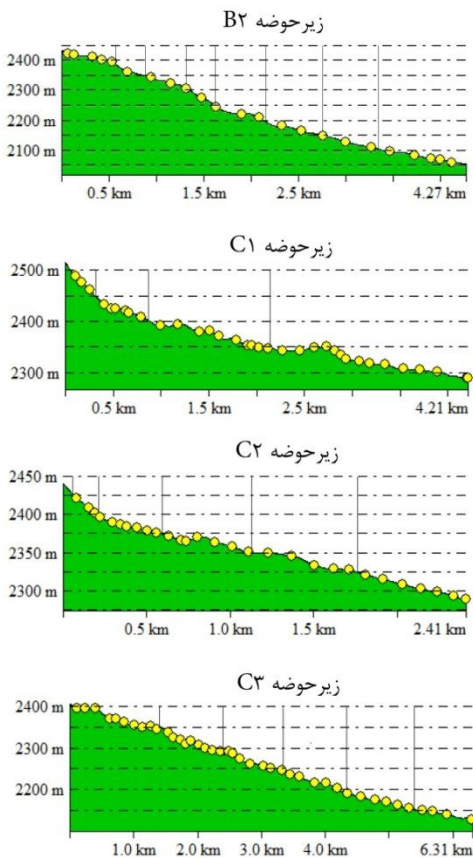


شکل ۴: نیمرخ رود اصلی در هر یک از زیرحوضه‌ها، و قطعاتی که شاخص در آن اندازه‌گیری شده است.

۵۰ باشد، این حوضه متقارن است، و اگر کمتر یا بیشتر از ۵۰ باشد حوضه نامتقارن می‌باشد. این شاخص به کج شدگی عمود بر روند رودخانه حساس است.

حوضه‌ها از لحاظ فعالیت زمین ساختی بر اساس میزان $|Af-50|$ به سه رده تقسیم می‌شوند. رده یک شامل حوضه‌هایی با مقادیر $|Af-50|$ بیشتر از ۱۵ می‌باشد، این رده از نظر زمین ساختی فعال می‌باشد. رده دوم شامل حوضه‌هایی با مقادیر $|Af-50|$ بین ۱۵ تا ۷ می‌باشند، که این حوضه‌ها جز مناطقی با زمین ساخت نیمه فعال محسوب می‌شوند. و رده سوم شامل حوضه‌هایی

بر اساس محاسبات انجام شده بالاترین میزان این شاخص مربوط به بخش B می‌باشد، بنابراین بخش B و بخش A از نظر فعالیت زمین ساختی



-۲ - عدم تقارن حوضه رودخانه، عامل بی تقارنی (Af): هندسه شبکه آبراهه‌ها را می‌توان به صورت کمی و کیفی توصیف کرد، شبکه آبراهه‌ها در مناطقی با زمین ساخت فعل الگو و هندسه مشخصی دارد. عامل عدم تقارن را می‌توان جهت ارزیابی میزان کج شدگی زمین ساختی بکار برد. این شاخص به صورت رابطه ۲ بیان می‌گردد (کلر و پینتر، ۱۹۹۶).

$$Af = 100 \times (Ar/At) \quad (2)$$

Af: عامل بی تقارنی، Ar: مساحت حوضه سمت راست رود اصلی و At: مساحت کل حوضه آبریز می‌باشند. اگر در حوضه‌ای این مقدار نزدیک به

گذار نبوده و این شاخص تحت تاثیر این عوامل نیست و بیشتر توسط فعالیت زمین ساختی کنترل می‌شود.

عامل بی‌تقارنی برای تمامی زیرحوضه‌ها و بخش‌های گستره مورد مطالعه محاسبه شده است، و بخش‌ها بر اساس عامل بی‌تقارنی رده‌بندی شده‌اند (جدول ۲).

جدول ۲: عامل بی‌تقارنی حوضه‌های آبراهه، و رده بندی این حوضه‌ها بر اساس عامل بی‌تقارنی.

زیرحوضه	Af= $100 \times (Ar/At)$	Af= $50 - Ar \times 100/At$	Af-50	میانگین	رده بندی فعالیت زمین ساختی
A ₁	۳۱/۳	۱۸/۷	۱۳/۶		۲
A ₂	۳۱/۹	۱۸/۱			
A ₃	۵۴	۴			
B ₁	۳۱	۱۹	۱۵/۱		۱
B ₂	۶۱/۲	۱۱/۲			
C ₁	۵۹/۸	۹/۸	۶/۹		۳
C ₂	۳۹/۶	۱۰/۴			
C ₃	۴۹/۵	۰/۵			

فراز سنگی بیان می‌شود، بنابراین گویای حجم فرسایش نیافته یک حوضه می‌باشد (پایک و ویلسون، ۱۹۷۱؛ مایر، ۱۹۹۰؛ کلر و پینتر، ۲۰۰۲).

بر اساس انتگرال فراز سنگی هر گستره را می‌توان از لحاظ فعالیت زمین ساختی نسبی رده بندی کرد، رده یک شامل حوضه‌هایی با زمین ساخت فعال است، که میزان این شاخص در آنها بیش از ۰/۵۷ است. رده دوم شامل مناطقی با زمین ساخت نیمه فعال، با $Hi = ۰/۵۷ - ۰/۴۷$ است. رده سوم مناطقی با زمین ساخت غیر فعال می‌باشد، که میزان این شاخص در آنها کمتر از ۰/۴۷ است (همدونی و همکاران، ۲۰۰۸).

به منظور محاسبه این شاخص ابتدا نمودار فراز سنگی بر اساس نسبت (h/H) در هر زیرحوضه به نسبت (a/A) در همان زیر حوضه ترسیم شده است (شکل ۵).

است که Af-50 | آنها کمتر از ۷ می‌باشد و این حوضه‌ها معرف مناطقی با زمین ساخت غیر فعال می‌باشند (همدونی و همکاران، ۲۰۰۸).

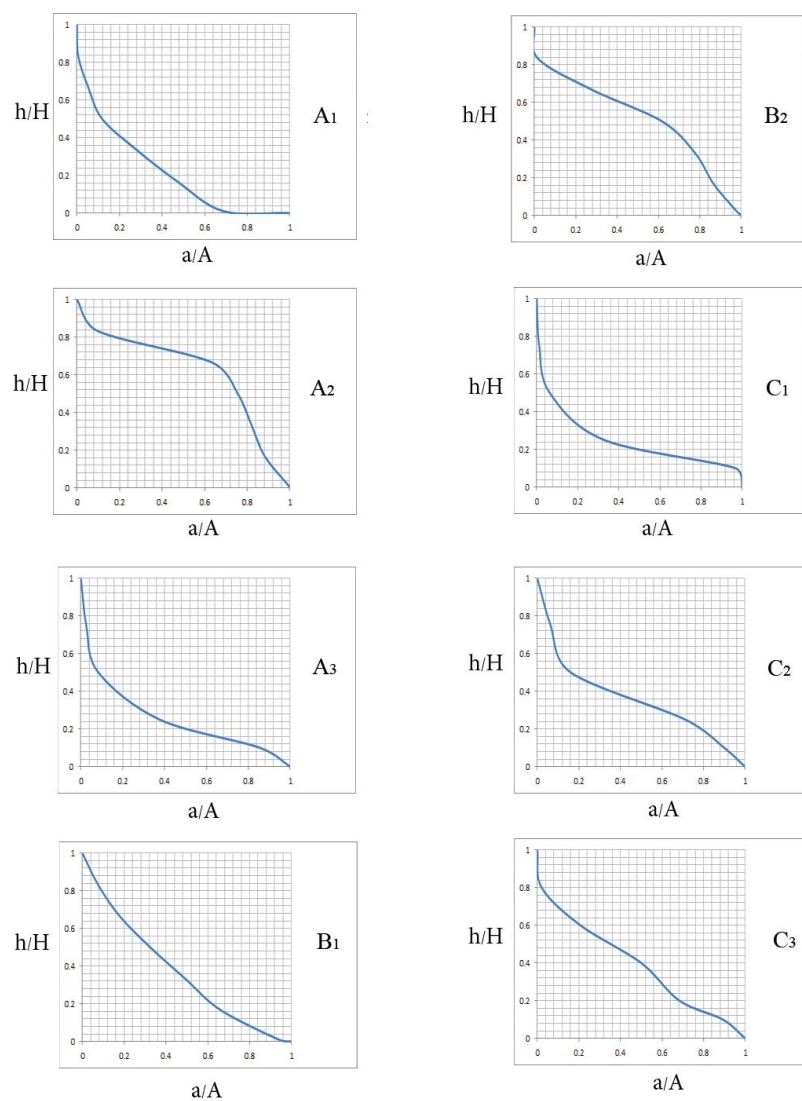
همان‌گونه که بحث شد، عامل بی‌تقارنی میزان کج شدگی زمین ساختی حوضه آبریز را در جهت عمود بر کanal رود اصلی نمایش می‌دهد، عوامل سنگ شناسی و آب و هوایی در این شاخص تاثیر

جدول ۲: عامل بی‌تقارنی حوضه‌های آبراهه، و رده بندی این حوضه‌ها بر اساس عامل بی‌تقارنی.

بر اساس مطالب ذکر شده بخش B با میزان عامل بی‌تقارنی ۱۵/۱ از نظر فعالیت زمین ساختی در رده یک قرار می‌گیرد. و دو بخش A و C به ترتیب در رده‌های دوم و سوم قرار می‌گیرند. بنابراین بخش B میزان کج شدگی زمین ساختی بیشتری نسبت به دو حوضه مجاور خود دارد، به عبارت دیگر فعالیت زمین ساختی آن نسبت به دو بخش مجاورش بیشتر است.

۳- انتگرال فراز سنگی (Hi): منحنی فراز سنگی، توزیع ارتفاعات را در یک حوضه آبریز نمایش می‌دهد، و با ترسیم نمودار نسبت ارتفاع کل حوضه به نسبت مساحت کل حوضه تعریف می‌شود (کلر و پینتر، ۲۰۰۲).

به عبارت دیگر انتگرال فراز سنگی شاخصی برای بیان توزیع ارتفاع در یک چشم انداز معین است (استرالر، ۱۹۵۲). این شاخص وابسته به مساحت حوضه می‌باشد، و به صورت مساحت زیر منحنی



شکل ۵: منحنی فراز سنجی زیر حوضه‌های گستره مورد مطالعه.

بالای این شاخص معرف برش عمقی یک سطح زمین ریختی جوان است. بنابراین مقادیر بالای این شاخص مربوط به سرزمین‌هایی با زمین ساخت جوان و فعال می‌باشد. همانند بالآمدگی‌هایی که در ارتباط با چین خوردگی و گسلش ایجاد شده‌اند. و مقادیر پایین آن مربوط به چشم اندازهای قدیمی‌تر است، که بیشتر فرسایش یافته و کمتر تحت تاثیر زمین ساخت فعال بوده‌اند.

سپس مساحت زیر هر نمودار به عنوان مقدار انتگرال فراز سنجی آن زیر حوضه اندازه‌گیری شده است. و نتایج این محاسبات در جدول ۳ ارائه شده است. از آنجایی که این شاخص تحت تاثیر مقاومت سنگ شناسی می‌باشد، به تنها یک گویای فعالیت زمین ساختی نمی‌باشد. هر چند که مقادیر بالای این شاخص حاکی از آن است که زمین‌های مرتفع فرسایش چندانی نداشته است و گویای یک چشم‌انداز جوان می‌باشد، که تحت تاثیر زمین ساخت فعال ایجاد شده است. نرخ

جدول ۳: انگرال فراز سنجی در زیر حوضه ها و بخش های گستره مورد مطالعه و رده بندی زمین ساختی.

زیر حوضه	A ₁	A ₂	A ₃	B ₁	B ₂	C ₁	C ₂	C ₃
زیر حوضه Hi	۰/۲۱	۰/۶۴	۰/۲۳	۰/۴۳	۰/۵۲	۰/۲۵	۰/۳۲	۰/۳۶
بخش Hi		۰/۳۶		۰/۴۷			۰/۳۱	
رده بندی فعالیت زمین ساختی		۳		۲			۳	

چپ: E_{rd} : ارتفاع خطوط آبریز سمت راست و E_{sc} : ارتفاع بستر دره می باشند. مقادیر بالای این شاخص مربوط به دره های U شکل با بستر نسبتا پهن می باشد، و مقادیر پایین این شاخص مربوط به مناطقی با دره های V شکل و باریک می باشد. مقادیر پایین این شاخص گویای مناطقی با زمین ساخت فعال است. همچنین بالآمدگی زمین ساختی و برش عمقی دره ها را نمایش می دهد. و مقادیر بالای این شاخص سکون زمین ساختی منطقه را بیان می دارد (کلر و پینتر، ۲۰۰۲). این شاخص به اندازه حوضه، میزان تخلیه حوضه و سنگ شناسی حوضه بستگی دارد، از این رو این شاخص باید در مناطقی با زمین شناسی مشابه مقایسه شود (شکل ۶).

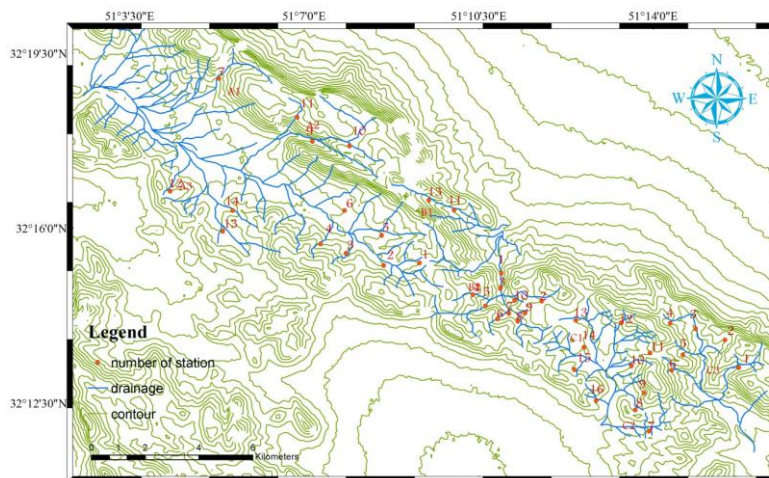
بر اساس محاسبات انجام شده بخش B، با میزان انگرال فراز سنجی ۰/۴۷ از نظر فعالیت زمین ساختی در رده دوم قرار می گیرد. و این در حالی است که بخش های A و C از لحاظ فعالیت زمین ساختی در رده سوم قرار می گیرند. پس فعالیت زمین ساختی در بخش B بیشتر از دو بخش مجاورش است.

۴- نسبت پهنه ای بستر دره به ارتفاع دره V_f : $V_f = V_{fw} / [(E_{ld} - E_{sc}) + (E_{rd} - E_{sc})]$

نسبت پهنه ای بستر دره به میانگین ارتفاع دره است (بول و مک فادن، ۱۹۷۷)؛ (بول، ۱۹۷۸) و به صورت رابطه ۳ تعریف می گردد.

$$V_f = 2V_{fw} / [(E_{ld} - E_{sc}) + (E_{rd} - E_{sc})]$$

: V_f نسبت پهنه ای بستر دره به ارتفاع دره، V_{fw} پهنه ای بستر دره، E_{ld} : ارتفاع خطوط آبریز سمت



شکل ۶: نقشه حوضه آبراهه ها، به همراه خطوط تراز توپوگرافی گستره مورد مطالعه، موقعیت ایستگاه های اندازه گیری شاخص V_f شماره گذاری شده است.

در منطقه مورد مطالعه، تنوع سنگ شناسی چندانی در بین حوضه‌ها وجود ندارد. پس این شاخص برای حوضه‌های مختلف بخش‌های سه گانه A، B و C در چندین ایستگاه محاسبه شده است و نتایج هر ایستگاه در جدول ۴ ارائه شده است.

جدول ۴: اندازه گیری شاخص V_f در ایستگاه‌های مختلف بخش‌های سه گانه A، B و C و محاسبه میانگین آن برای هر بخش.

شماره ایستگاه‌های بخش A	V_f	شماره ایستگاه‌های بخش B	V_f	شماره ایستگاه‌های بخش C	V_f
۱	۲/۰۳	۱	۰/۵۲	۱	۰/۶۱
۲	۰/۹۲	۲	۱/۶	۲	۰/۸۷
۳	۲/۴	۳	۰/۴۴	۳	۰/۹۰
۴	۰/۸	۴	۱/۴۳	۴	۱/۱۸
۵	۱/۰۱	۵	۰/۷	۵	۱/۲۵
۶	۰/۹۳	۶	۰/۹۵	۶	۱/۸۶
۷	۰/۹۷	۷	۰/۴۲	۷	۱/۳۶
۸	۱/۱۰	۸	۰/۴۷	۸	۱/۲۴
۹	۰/۴۲	۹	۱/۲۱	۹	۱/۹۰
۱۰	۱/۶۷	۱۰	۱/۲۱	۱۰	۳/۰۲
۱۱	۲/۵	۱۱	۰/۷۶	۱۱	۱/۱۷
۱۲	۳/۰۸	۱۲	۰/۷۷	۱۲	۲/۳
۱۳	۱/۳۷	میانگین V_f برای بخش B	۰/۸۷	۱۳	۲/۳
۱۴	۱/۰۴			۱۴	۱/۱۲
میانگین V_f برای بخش A	۱/۴۴			۱۵	۱/۴۶
				۱۶	۲
		میانگین V_f برای بخش C			۱/۵۳

رده سوم شامل دره‌های غیر فعال با شاخص V_f بیشتر از ۱.

بنابر محاسبات انجام شده بخش B با میزان V_f ۰/۸۷ از لحاظ فعالیت زمین ساختی نسبت به دو بخش دیگر A و C فعال‌تر می‌باشد، و در رده دوم قرار می‌گیرد. در حالی که بخش‌های A و C در رده سوم قرار می‌گیرند. بنابراین دره‌ها در بخش

دره‌ها بر اساس این شاخص، از لحاظ فعالیت زمین ساختی در سه رده قرار می‌گیرند (همدونی و همکاران، ۲۰۰۸).

رده اول شامل دره‌های فعال با شاخص V_f کمتر از ۰/۵.

رده دوم شامل دره‌های نیمه فعال با شاخص V_f بین ۰/۵-۱.

فرآیندهای فرسایشی پیشانی کوهستان بسیار نامنظمی را ایجاد خواهند کرد، و مقدار Smf افزایش خواهد یافت.

این شاخص می‌تواند گویایی فعالیت زمین ساختی یک گستره باشد، به گونه‌ای که می‌توان کوهستان را از لحاظ فعالیت زمین ساختی، بر اساس مقدار این شاخص به سه رده تقسیم کرد. رده یک شامل پیشانی‌هایی با مقادیر Smf کمتر از ۱/۱ می‌باشد، که این مناطق زمین ساخت فعال را منعکس می‌کنند. رده دوم شامل پیشانی‌هایی، با مقدار Smf بین ۱/۱-۱/۵ است، که گویای مناطقی با زمین ساخت نیمه فعال می‌باشد. و رده سوم شامل کوهستان‌هایی با مقادیر Smf بیشتر از ۱/۵ است، که مربوط به پیشانی‌های غیرفعال می‌باشد (همدونی و همکاران، ۲۰۰۸).

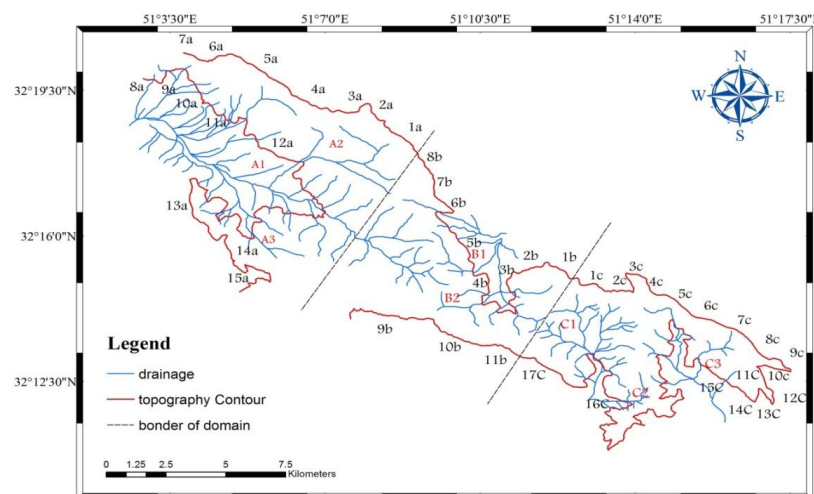
در راستای محاسبه این شاخص، خط تراز توپوگرافی ۲۳۵۰ متری، مرز بین کوهستان و دشت در نظر گرفته شده است. سپس برای محاسبه دقیق این شاخص، اندازه‌گیری در تکه‌های متعددی از هر بخش انجام گرفته است (شکل ۷).

B نسبت به دو بخش دیگر عمیق‌تر و فعال‌تر می‌باشد.

۵- شاخص پیچ و خم پیشانی کوهستان (Smf) شاخص پیچ و خم پیشانی کوهستان (بول و مک فادن، ۱۹۷۷؛ (بول، ۱۹۷۸) توسط رابطه $Smf = Lmf/Ls$ تعریف می‌شود. رابطه 4

: Smf شاخص پیچ و خم پیشانی کوهستان طول پیشانی کوهستان در پای کوهستان، جایی که یک تغییر در شب، از کوهستان به کوهپایه روی می‌دهد، Ls طول خط مستقیم پیشانی کوهستان است.

این شاخص گویای تعامل بین عوامل زمین ساختی قائم که تمایل به ایجاد یک خط مستقیم در کوهستان دارند. و عوامل فرسایشی است، که تمایل به فرسودن و افزایش پیچ و خم در کوهستان را دارند (بول و مک فادن، ۱۹۷۷). پیشانی کوهستان‌هایی که در ارتباط با زمین ساخت فعال (چین خوردگی، گسلش و بالآمدگی) می‌باشد، نسبتاً مستقیم و مقدار Smf آنها نسبتاً پایین می‌باشد. اگر نرخ بالآمدگی کاهش یابد،



شکل ۷: نحوه اندازه گیری شاخص پیچ و خم پیشانی کوهستان در گستره مورد مطالعه، نمایش قطعاتی که شاخص Smf در آن اندازه گیری شده است.

دهند، و در رده یک قرار می‌گیرند، در حالی که بخش C با اختلاف اندکی در رده دوم قرار می‌گیرد.

میزان این شاخص برای هر بخش محاسبه شده، و نتایج آن در جدول های ۵ و ۶ ارائه شده است. بر این اساس بخش B و A با مقادیر Smf کمتر از ۱/۱ فعالیت زمین ساختی بالایی را نشان می-

جدول ۵: شاخص پیچ و خم پیشانی کوهستان، در بخش‌های سه گانه گستره مورد مطالعه.

تکه های اندازه گیری شده در بخش A	در Smf A بخش	تکه های اندازه گیری شده در بخش B	در Smf B	تکه های اندازه گیری شده در بخش C	در Smf C بخش
1a	۱/۱۳۸	1b	۱/۰۹۴	1c	۱/۰۷۶
2a	۱/۱۵۶	2b	۱/۱۴۹	2c	۱/۱۱۰
3a	۱/۲۱۲	3b	۱/۰۱۶	3c	۱/۰۳۰
4a	۱/۰۷۶	4b	۱/۰۷۵	4c	۱/۰۱۰
5a	۱/۰۰۴	5b	۱/۰۲۴	5c	۱/۰۳۸
6a	۱/۰۹۸	6b	۱/۰۱۲	6c	۱/۱۷۲
7a	۱/۰۱۰	7b	۱/۰۰۳	7c	۱/۰۶۷
8a	۱/۰۶۳	8b	۱/۰۱۴	8c	۱/۰۶۰
9a	۱/۱۱۵	9b	۱/۰۳۵	9c	۱/۱۷۴
10a	۱/۰۰۷	10b	۱/۰۷۹	10c	۱/۰۶۹
11a	۱/۱۲۶	11b	۱/۱۰۳	11c	۱/۳۰۷
12a	۱/۱۲۲	میانگین Smf B بخش	۱/۰۵۴	12c	۱/۰۸۴
13a	۱/۰۸۱			13c	۱/۲۴۱
14a	۱/۰۶۲			14c	۱/۰۸۰
15a	۱/۰۷۵			15c	۱/۲۰۰
میانگین Smf A بخش	۱/۰۸۹			16c	۱/۰۲۳
				17c	۱/۰۳۲
				میانگین Smf C بخش	۱/۱۰۵

جدول ۶: رده بندی زمین ساختی بخش‌ها بر اساس شاخص پیچ و خم پیشانی کوهستان.

بخش‌های منطقه	A	B	C
شاخص پیچ و خم پیشانی کوهستان	۱/۰۸۹	۱/۰۵۴	۱/۱۰۵
رده فعالیت زمین ساختی	۱	۱	۲

S/n آنها بین $1/5-1$ می باشد، که این بخش ها فعالیت زمین ساختی بسیار بالایی را از خود نشان می دهند. رده دوم شامل بخش هایی است که میزان S/n آنها بین $2/5-2/5$ است، و این بخش ها فعالیت زمین ساختی بالایی دارند. و بخش های رده سوم میزان S/n آنها بیش از $2/5$ است، که این بخش ها فعالیت زمین ساختی کمتری را از خود نشان می دهند (همدونی و همکاران، ۲۰۰۸). بر اساس مطالب ذکر شده بخش های سه گانه A، B و C در گستره مورد مطالعه بر حسب شاخص های ریخت سنجی رده بندی شده اند، و در نهایت نیز مقدار S/n برای هر بخش محاسبه گردید (جدول ۷).

جدول ۷: رده بندی فعالیت زمین ساختی نسبی هر بخش و تعیین مقدار S/n .

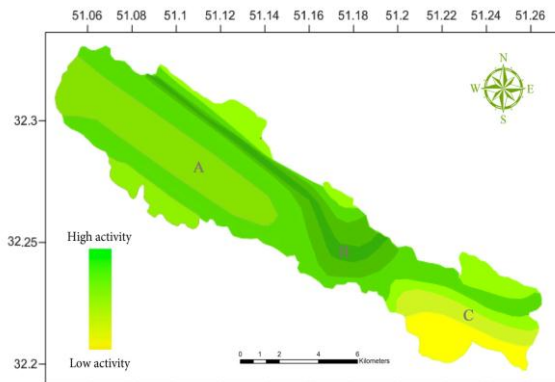
بخش	رده بندی بر اساس شاخص های ریخت سنجی					S/n	رده بندی نهایی
	SL	Af	Hi	V_f	Smf		
A	۱	۲	۳	۳	۱	۲	۲
B	۱	۱	۲	۲	۱	$1/4$	۱
C	۲	۳	۳	۳	۲	$2/6$	۳

بخش C نیز با میزان S/n برابر با $2/6$ در رده سوم از نظر فعالیت زمین ساختی نسبی قرار می گیرند.

رده بندی فعالیت زمین ساختی نسبی نهایی فعالیت زمین ساختی نسبی هر چشم انداز را می توان بر اساس مقادیر حاصل از محاسبه شاخص های ریخت سنجی بیان کرد. برای دستیابی به این هدف ابتدا میزان شاخص های ریخت سنجی برای هر بخش از گستره تعیین می گردد، سپس آن بخش بر اساس مقادیر هر شاخص ریخت سنجی رده بندی می شود. آنگاه S/n میانگینی از تمامی رده بندی ها تحت عنوان بیان می گردد، که این مقدار گویای رده بندی نهایی فعالیت زمین ساختی هر بخش از آن گستره می باشد. حال هر بخش بر اساس مقدار S/n بدست آمده در یکی از سه رده زیر قرار می گیرد. رده اول شامل بخش هایی است، که میزان

جدول ۷: رده بندی فعالیت زمین ساختی نسبی هر بخش و تعیین مقدار S/n .

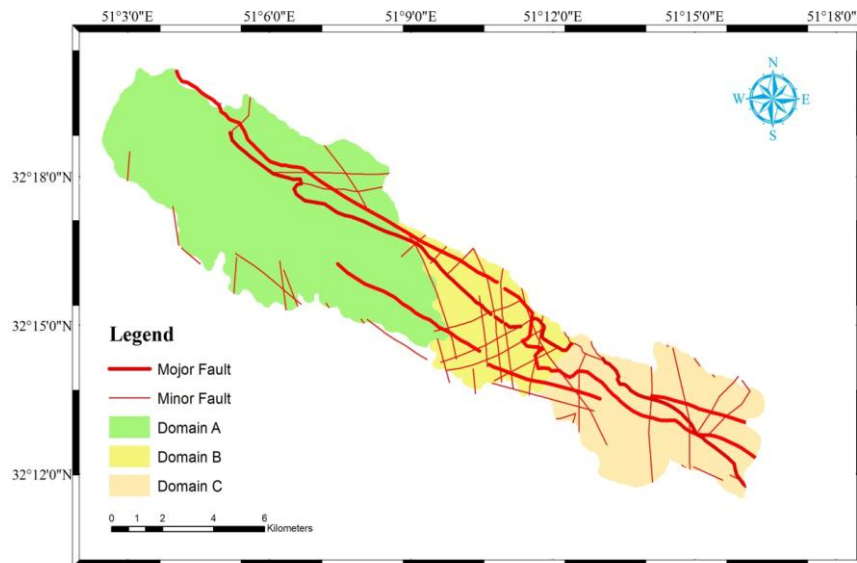
بنابراین بخش B با میزان S/n برابر با $1/4$ در رده یک، بخش A با میزان S/n برابر با ۲ در رده دوم و بر اساس نتایج حاصل از تحلیل خطوط هم پایه، گستره مورد مطالعه، از نظر فعالیت زمین ساختی نسبی، پهنه بندی شده است (شکل ۸).



شکل ۸: نقشه فعالیت زمین ساختی نسبی گستره مورد مطالعه، رنگ سبز فعالیت زمین ساختی بالا و رنگ زرد فعالیت زمین ساختی پایین را نشان می دهد.

ترافشارشی راستیر، در گستره مورد مطالعه می‌باشد. و همچنین تراکم بالای ساختارها را در بخش B نشان می‌دهد. به عبارت دیگر، بخش B در گستره مورد مطالعه بیش از دو بخش مجاورش تحت تاثیر این سامانه ترافشارشی بوده، و فعالیت زمین ساختی بیشتری را نشان می‌دهد (شکل ۹).

این پهنه بندی علاوه بر آن که، با رده بندی فعالیت زمین ساختی نسبی گستره هم خوانی دارد، با ساختارهای گستره نیز مطابقت دارد به عبارت دیگر، مطالعات ساختاری، که بر اساس برداشت‌های میدانی و بررسی تصاویر ماهواره‌ای در گستره انجام گرفته، گویای یک سامانه



شکل ۹: نمایش ساختارهای اصلی و فرعی گستره مورد مطالعه.

مورد مطالعه نیز هم خوانی دارد. به عبارت دیگر، بررسی‌های ساختاری نیز گویای تراکم بالای ساختارها در بخش B می‌باشد. و از آن جا که در گستره مورد مطالعه یک سامانه ترافشارشی حاکم است. بنابراین، بخش B بیش از دو بخش مجاور خود، تحت تاثیر ساختارهای حاصل از سامانه ترافشارشی قرار داشته، و فعالیت زمین ساختی آن نسبت به دو بخش مجاورش بیشتر است. بنابراین، نتایج حاصل از محاسبه و اندازه‌گیری شاخص‌های زمین ریختی، توسط شواهد ساختاری تائید می‌شود.

بحث و نتیجه‌گیری

در این پژوهش با اندازه‌گیری پنج شاخص ریخت سنجی (SL)، (Hi)، (Af)، (Vf) و (Smf) در زیرحوضه‌های گستره مورد مطالعه، بخش‌های سه گانه گستره مورد مطالعه، از لحاظ فعالیت زمین ساختی نسبی رده بندی شده‌اند. و بر این اساس بخش B به عنوان پویاترین بخش زمین ساختی گستره معرفی شده است. این پویایی علاوه بر آن که، با نقشه پهنه بندی فعالیت زمین ساختی گستره، که بر اساس تحلیل خطوط هم پایه تهیه شده، مطابقت دارد. با الگوی ساختاری گستره

- سازمان جغرافیایی نیروهای مسلح جمهوری اسلامی ایران، ۱۳۷۹. نقشه توپوگرافی چرمهین، مقیاس ۱:۵۰۰۰۰.
- سازمان جغرافیایی کشور، ۱۳۵۳. نقشه توپوگرافی زرین شهر، مقیاس ۱:۵۰۰۰۰.
- زاهدی، م.، ۱۳۵۵. نقشه زمین شناسی ریزه-لنjan مقیاس ۱:۱۰۰۰۰، سازمان زمین شناسی و اکتشافات معدنی کشور.

منابع

- محمدی، ح.، ۱۳۸۵. بررسی ویژگی‌های زمین شناسی مهندسی تونل انتقال آب بهشت آباد بخش خروجی، پایان نامه کارشناسی ارشد، دانشگاه اصفهان.
- سازمان جغرافیایی نیروهای مسلح جمهوری اسلامی ایران، ۱۳۷۸. نقشه توپوگرافی فرادبه، مقیاس ۱:۵۰۰۰۰.
- سازمان جغرافیایی نیروهای مسلح جمهوری اسلامی ایران، ۱۳۷۷. نقشه توپوگرافی مجتمع فولاد مبارکه، مقیاس ۱:۵۰۰۰۰.

- Azor, A., Keller, E.A. and Yeats, R.S., 2002. Geomorphic indicators of active fold growth: South Mountain-Oak Ridge anticline, Ventura basin, southern California, Geological Society of America Bulletin, v. 114, P. 745–753.
- Babaahmadi, A., Safaei, H., Yassaghi, A., Vafa, H., Naeimi, A., Madanipour, S. and Ahmadi, M., 2010, A study of quaternary structures in the Qom region, West Central Iran, Journal of Geodynamics, v. 50, p. 355–367.
- Bishop, P., 2007. Long-term landscape evolution: linking tectonics and surface processes, Earth Surface Process and Land Froms, v. 32, p. 329–365.
- Bull, W.B., 1978. Geomorphic tectonic activity classes of the south front of the San Gabriel Mountains, California, and United States Geological Survey, Contract Rep, 14-08-001-G-394, Office of Earthquakes, Volcanoes, and Engineering, Menlo Park, Calif, 59 p.
- Bull, W.B. and Mc fadden, L.D., 1977. Tectonic geomorphology north and south of the Garlock fault, California. In: Proceedings Vol. of 8th Annual Geomorph. Symp, Edited by Doering, D.O. State University of New York at Binghamton, Binghamton, NY, v. 1977, p. 116-138.

- Burbank, D.W. and Anderson, R.S., 2001. Tectonic Geomorphology, Blackwell Science, Oxford, 247 p.
- Cloetingh, S. and Cornu, T., 2005. Surveys on environmental tectonics, Quaternary Science, v. 24, p. 235–240.
- Cox, R.T., 1994. Analysis of drainage-basin symmetry as a rapid technique to identify areas of possible Quaternary tilt-block tectonics: an example from the Mississippi embayment, Geological Society of America Bulletin, v. 106, p. 571–581.
- England, P. and Molnar, P., 1990. Surface uplift, uplift of rock, and exhumation of rocks, Geology, v. 18, p. 1173–1177.
- Garcia-Tortosa, F. J., Alfaro, P., Galindo-Zaldivar, J., Gibert, L., Lopez Garrido, A. C., Sanz de Galdeano, C. and Urena, M., 2008, Geomorphologic Evidence of the Active Baza Fault (Betic Cordillera, South Spain), Geomorphology, v.97, p. 374-391.
- Jackson, H. R., Forsyth, D. A., Mudie, P. and Amos, C., 1984. Constraints on the Tectonic Origin of the Alpha Ridge, Proc, Joint CMOS/CGU Meet, Dalhousie Univ., Dalhousie, N.B., 87p.
- Keller, E.A. and Pinter, N., 1996. Active Tectonics. Earthquakes, Uplift,

- and Landscape. Prentice Hall, New Jersey, 338 p.
- Keller, E.A. and Pinter, N., 2002. Active Tectonics, Earthquakes, Uplift and Landscape, Prentice Hall, New Jersey, 362 p.
- Mayer, L., 1990. Introduction to Quantitative Geomorphology, An Exercise Manual, in Prentice Hall, Englewood, Cliffs, N.J. 384p.
- Morley, K., Kongwung, B., Julapour, A., Abdolghafourian, M., Hajian, M., Waples, D., Warren, J., Otterdoom, H., Srisuriyon, K. and Kazemi, H., 2009. Structural development of a major late Cenozoic basin and transpressional belt in central Iran the Central Basin in the Qom-Saveh area, *Geosphere*, v. 5, p. 325-362.
- Nadimi, A. and Konon, K., 2012. Strike-slip faulting in the central part of the Sanandaj-Sirjan Zone, Zagros Orogen Iran, *Journal of Structural Geology*, v. 40, p. 2-16.
- Perez- Pena, J.V., Azor, A., Azanon, J.M. and Keller, E.A., 2010. Active tectonics in the Sierra Nevada (Betic Cordillera, SE Spain): Insights from geomorphic indexes and drainage pattern analysis, *Geomorphology*, v. 119, p. 47- 87.
- Pike, R.J. and Wilson, S.E., 1971. Elevation-relief ratio, hypsometric integral and geomorphic area-altitude analysis, *Geological Society of America Bulletin*, v. 82, p. 1079-1084.
- Ramirez-Herrera, M.T., 1998. Geomorphic assessment of active tectonics in the Acambay graban, Mexican Volcanin belt, *Earth Surface Process and Land Froms*, v. 23, p. 317-322.
- Safaei, H., Taheri, A. and Vaziri-Moghadam, H., 2008. Structural analysis and evolution of the Kashan fault (Qom-Zefreh Fault), Centarl Iran, *Journal of Applied Science*, v. 8, p. 1426–1434.
- Schumm, S.A., Dumont, J.F. and Holbrook, J.M., 2000. Active Tectonics and Alluvial Rivers, Cambridge University Press, Cambridge, 276 p.
- Strahler, A.N., 1952. Hypsometric (area-altitude) analysis of erosional topography, *Geological Society of America Bulletin*, v. 63, p. 1117-1142.
- Hamdouni, R., Irigaray, C., Fernández, T., Chacón, J. and Keller, E.A., 2008. Assessment of relative active tectonics, southwest border of the Sierra Nevada (southern Spain), *Geomorphology*, v. 96, p. 150-173.
- D., Warren, J., Otterdoom, H., Srisuriyon, K. and Kazemi, H., 2009. Structural development of a major late Cenozoic basin and transpressional belt in central Iran the Central Basin in the Qom-Saveh area, *Geosphere*, v. 5, p. 325-362.